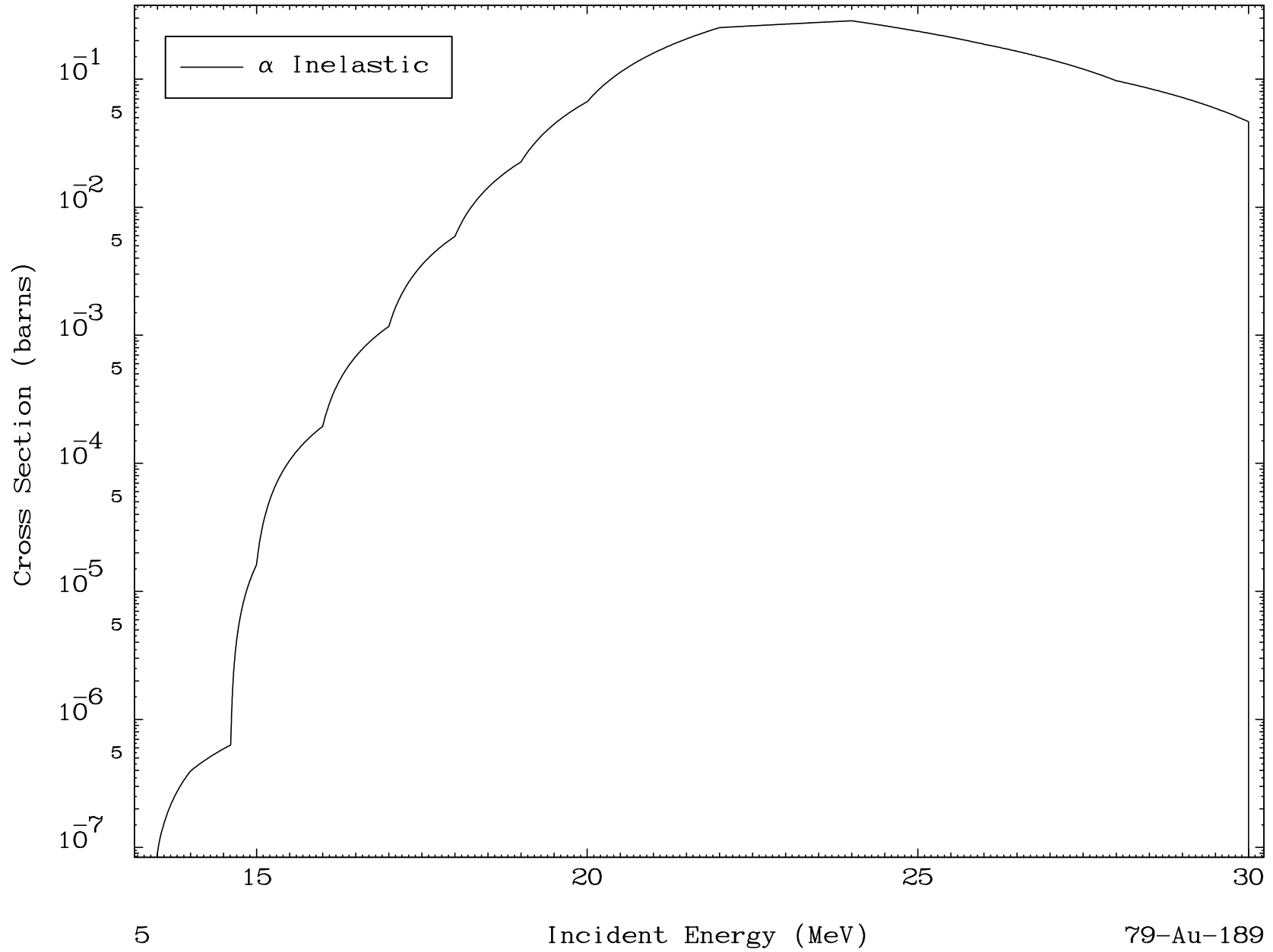
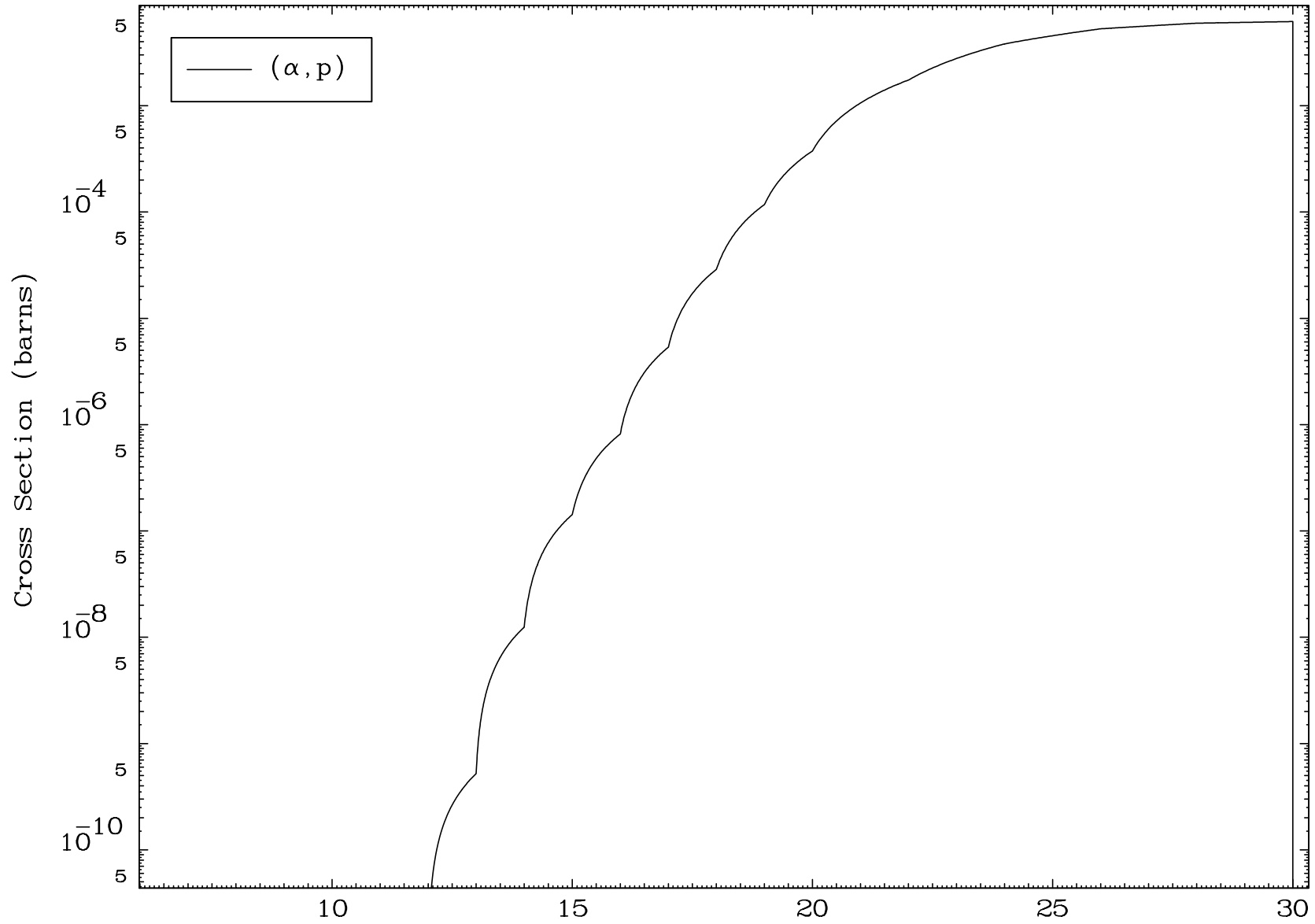


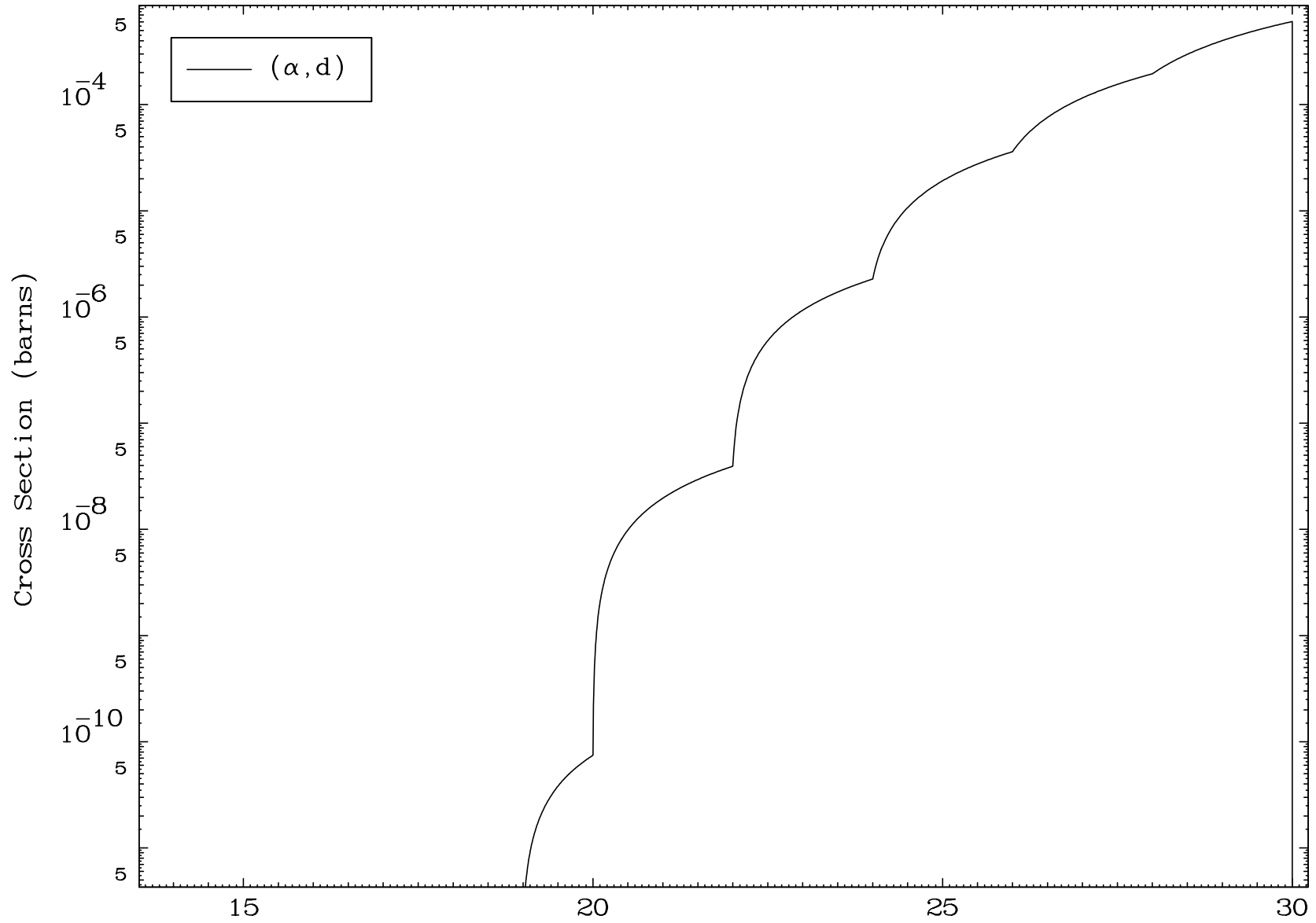
MAT 7902

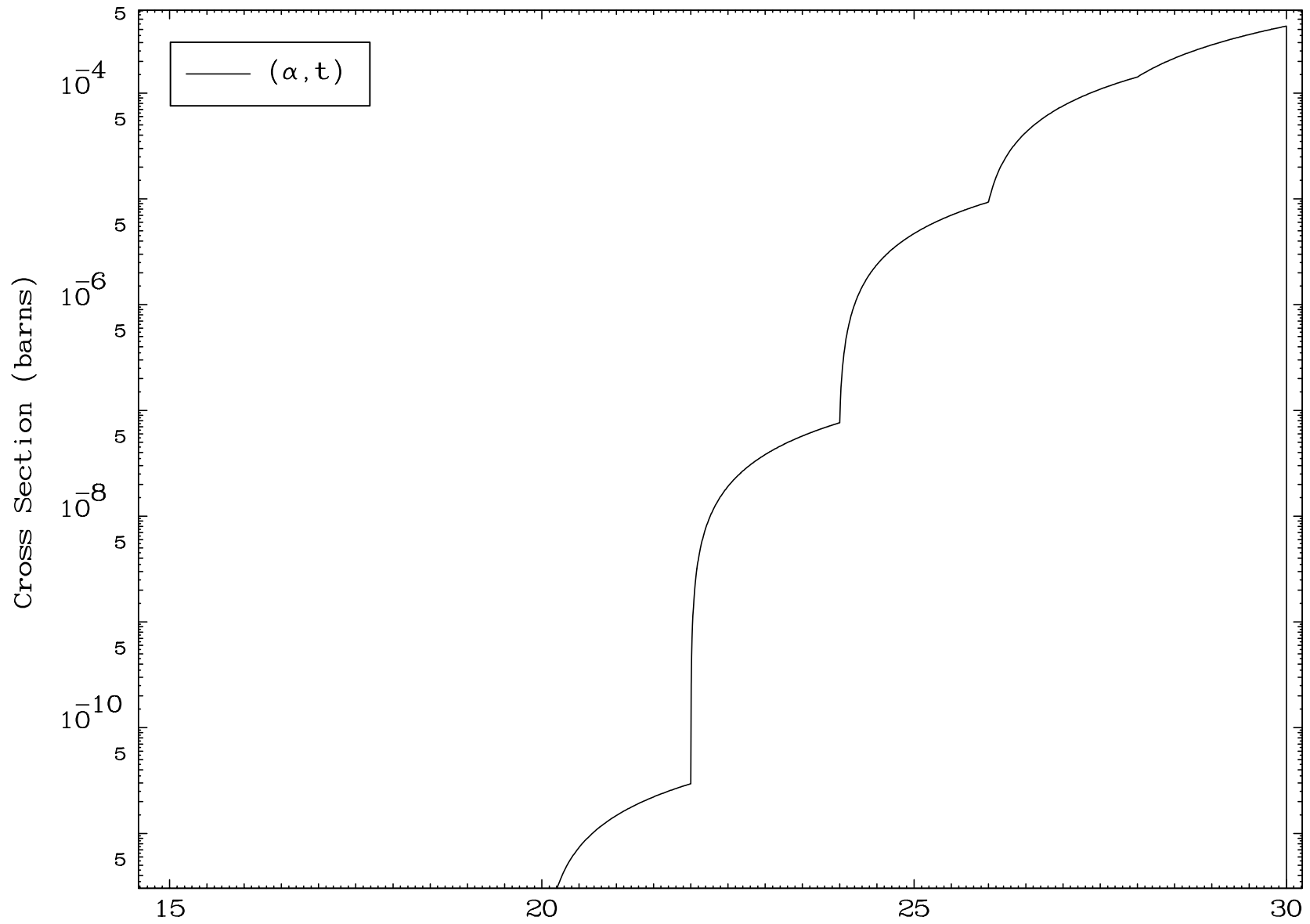
(α, n') Level
0 Kelvin Cross Sections

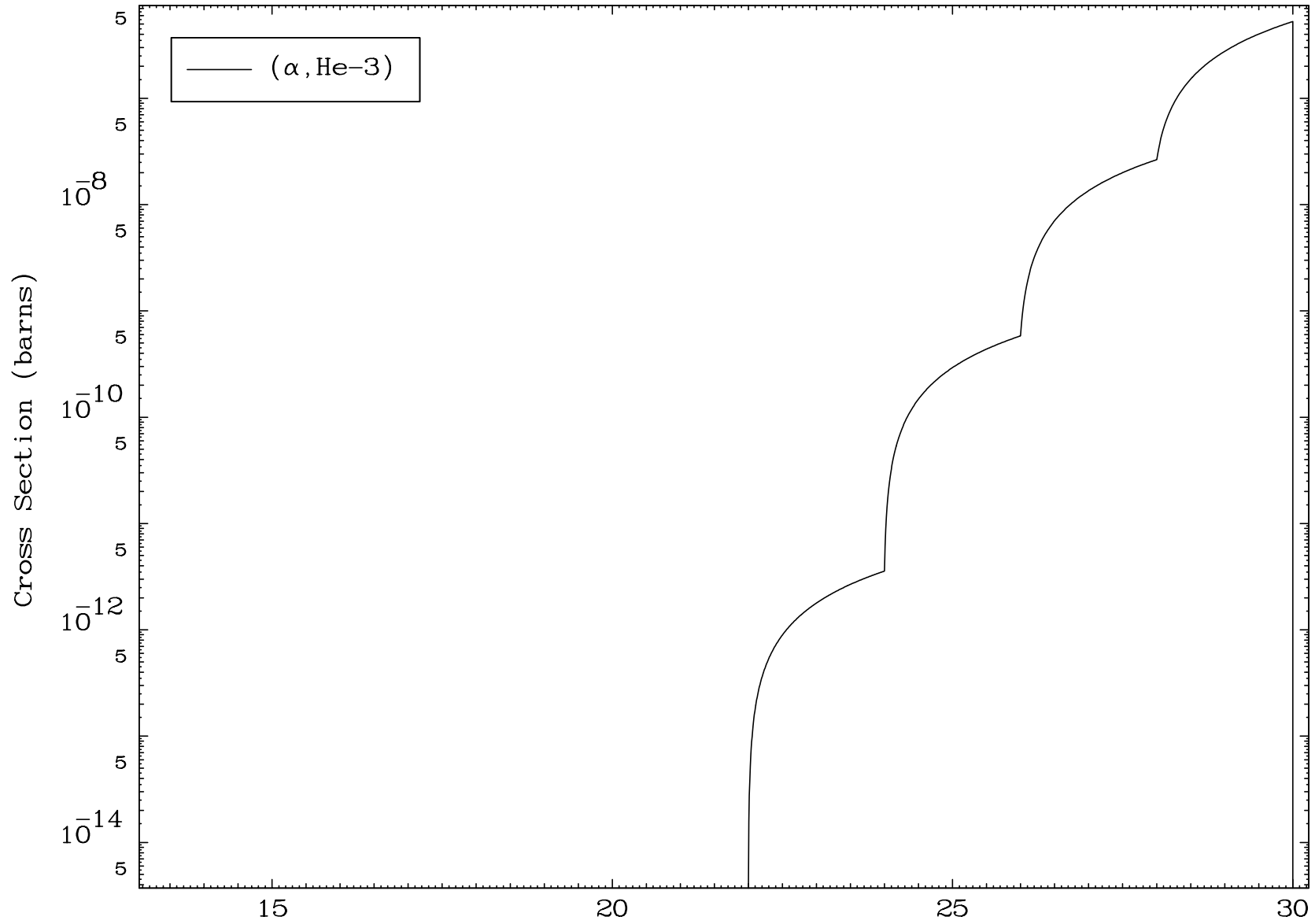
79-Au-189







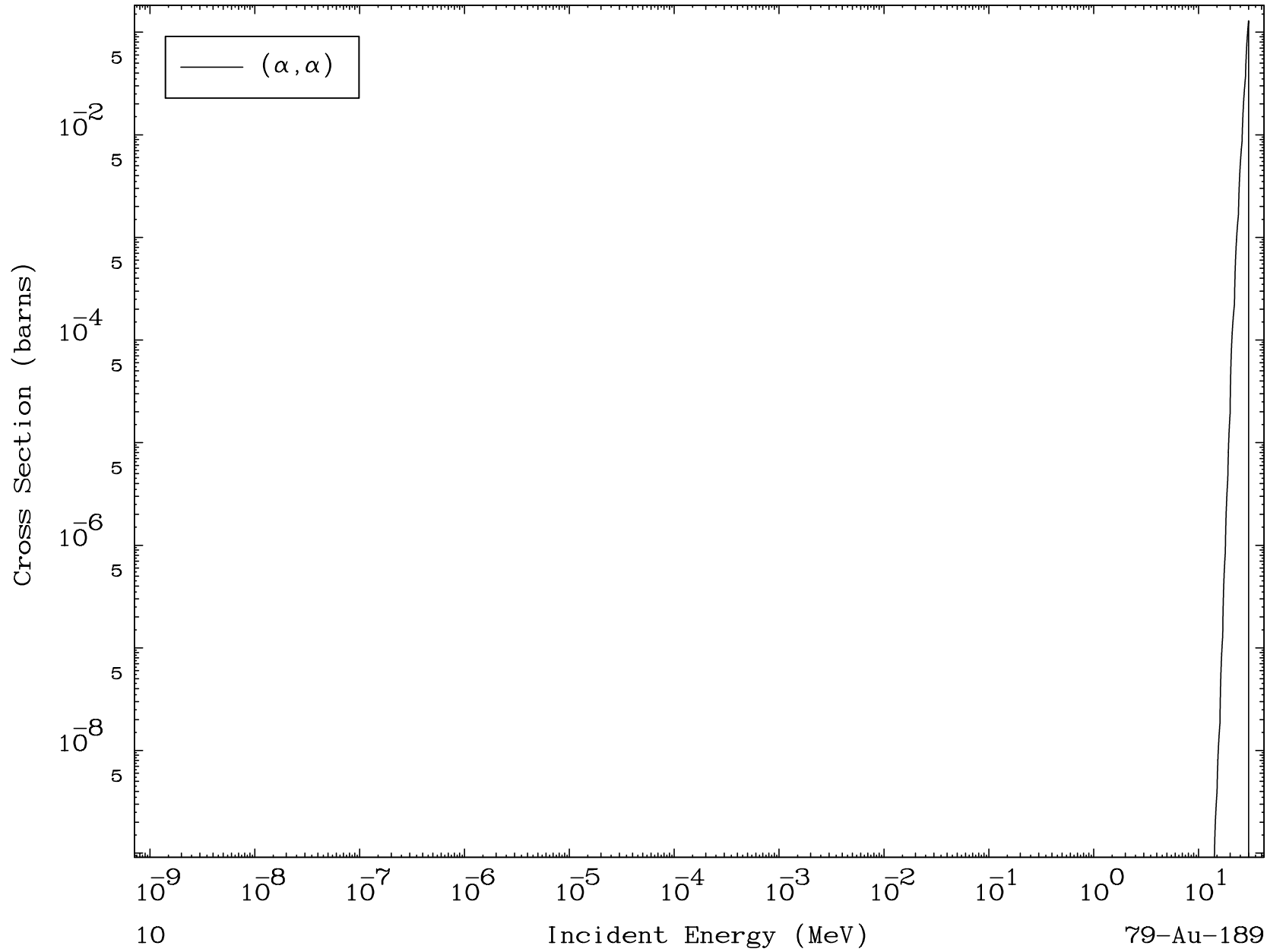




MAT 7902

(α, α) Levels
0 Kelvin Cross Sections

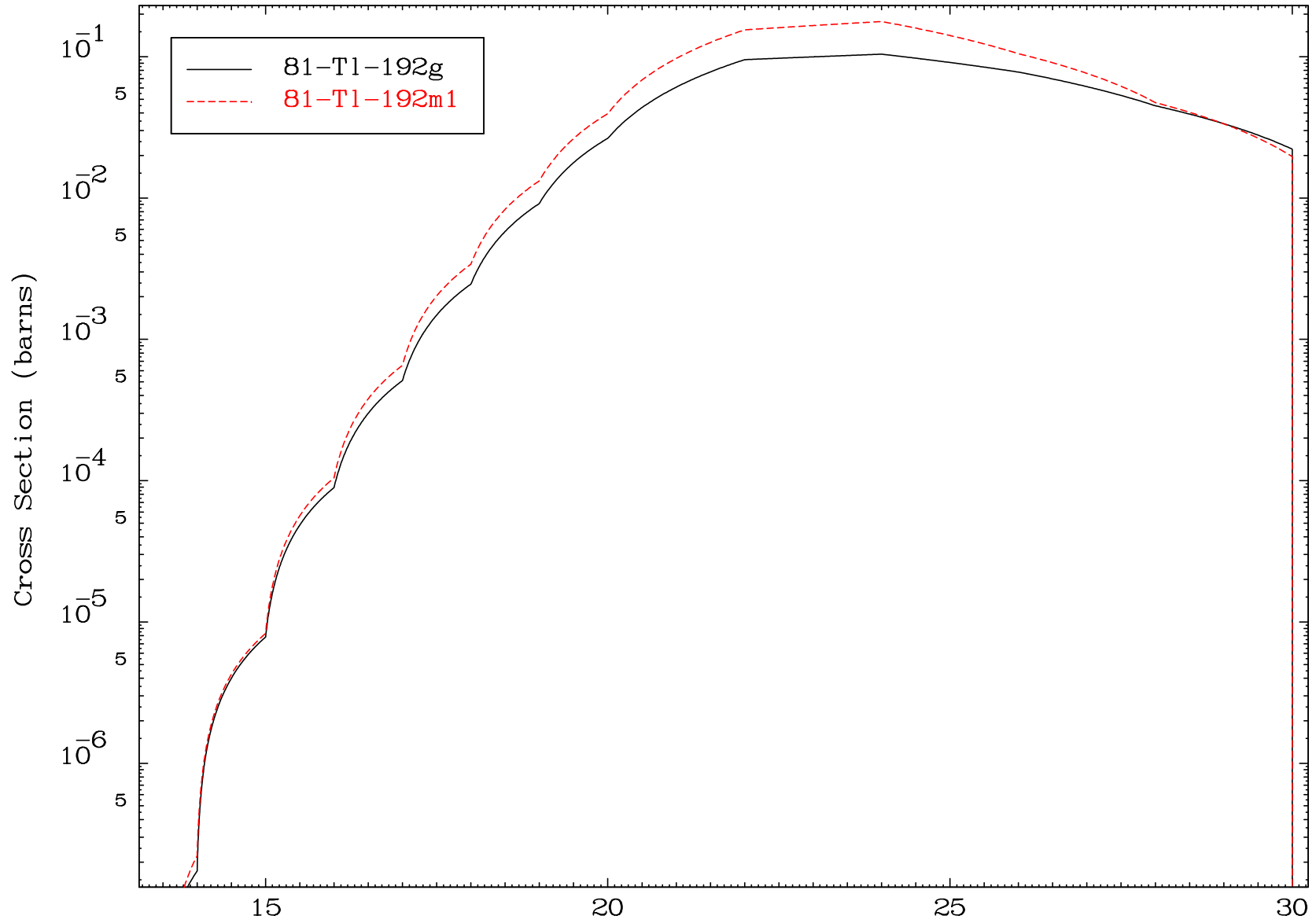
79-Au-189



MAT 7902

α Inelastic
Radionuclide Production Cross Section

79-Au-189

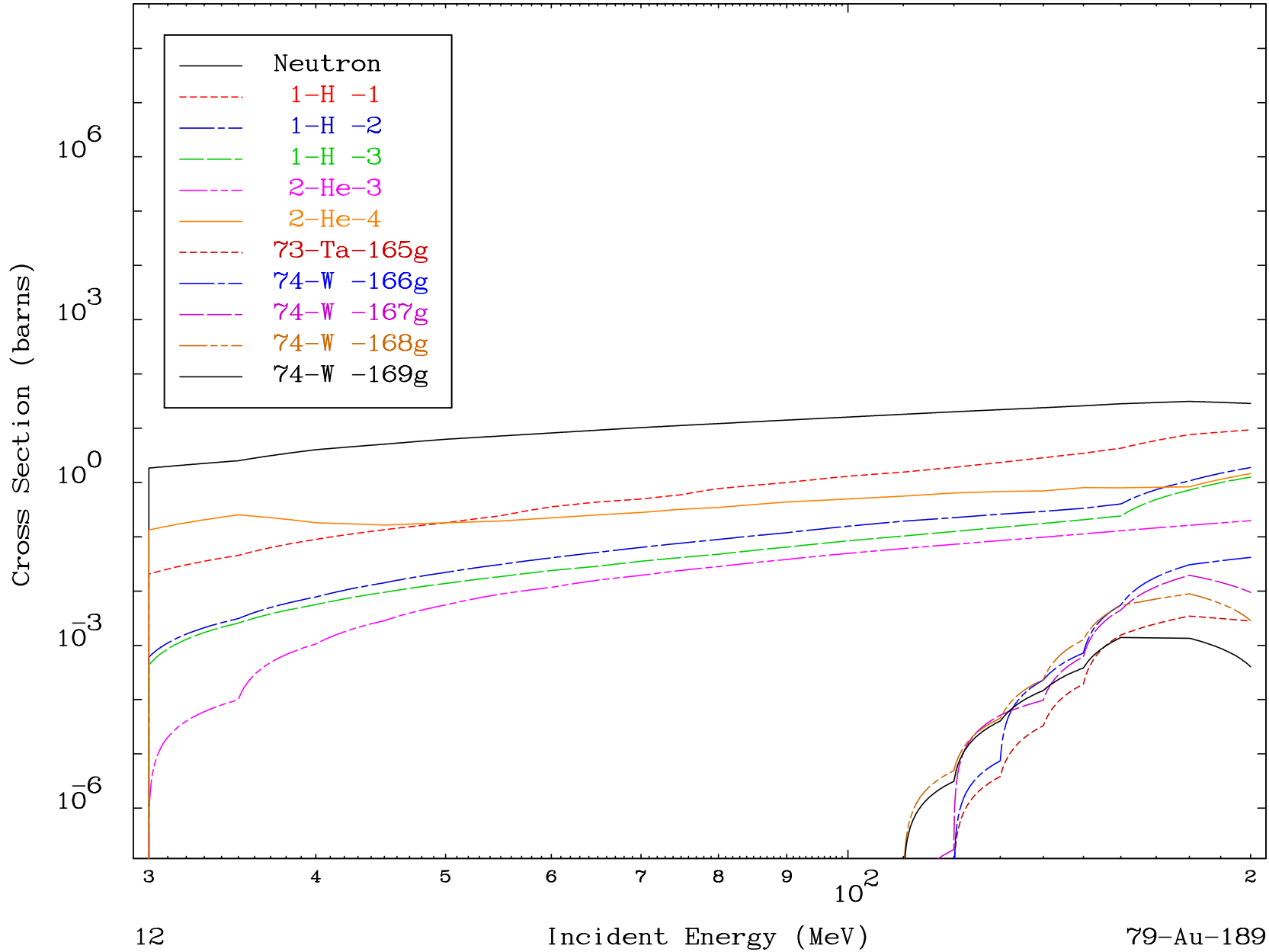


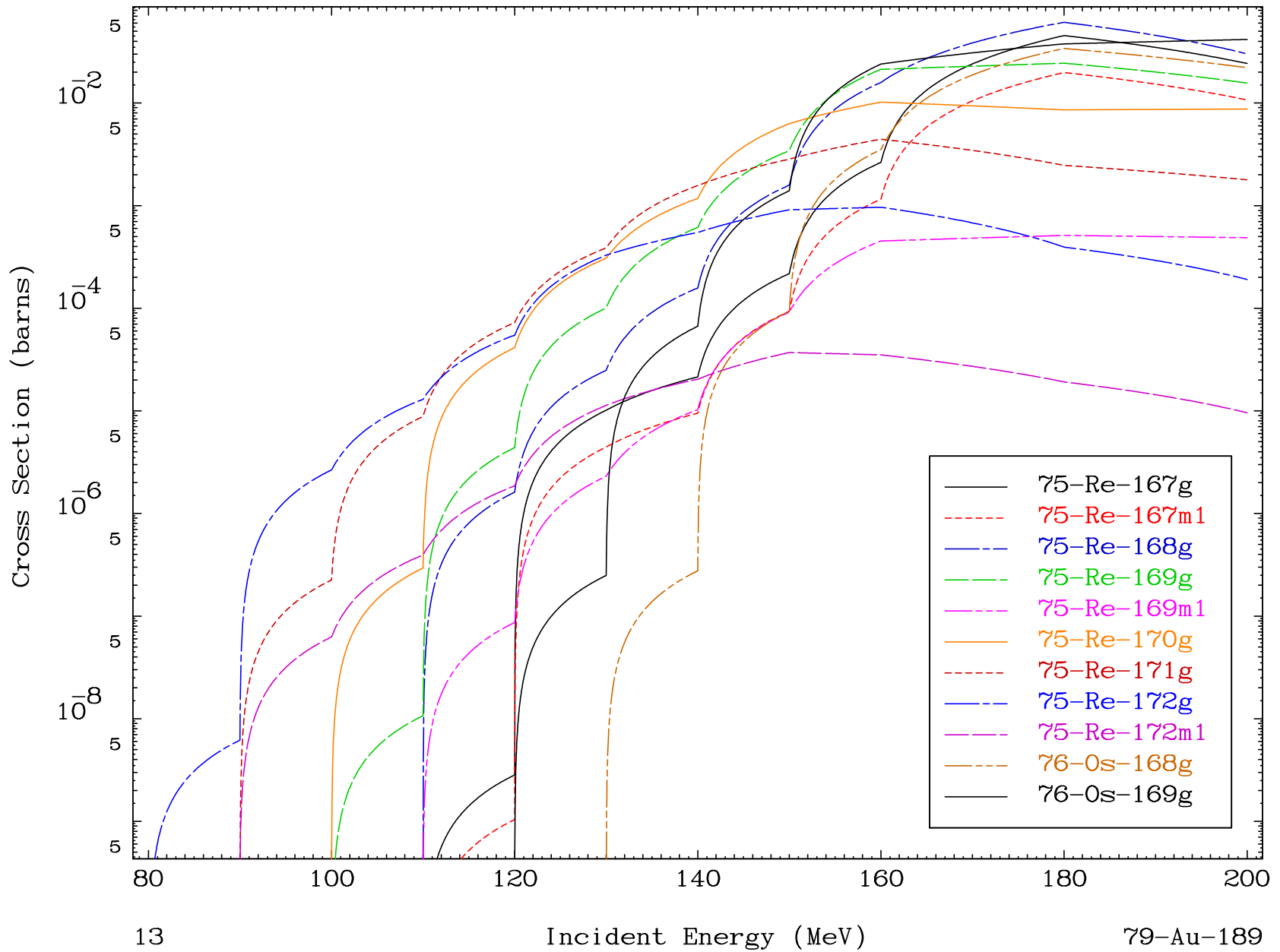
11

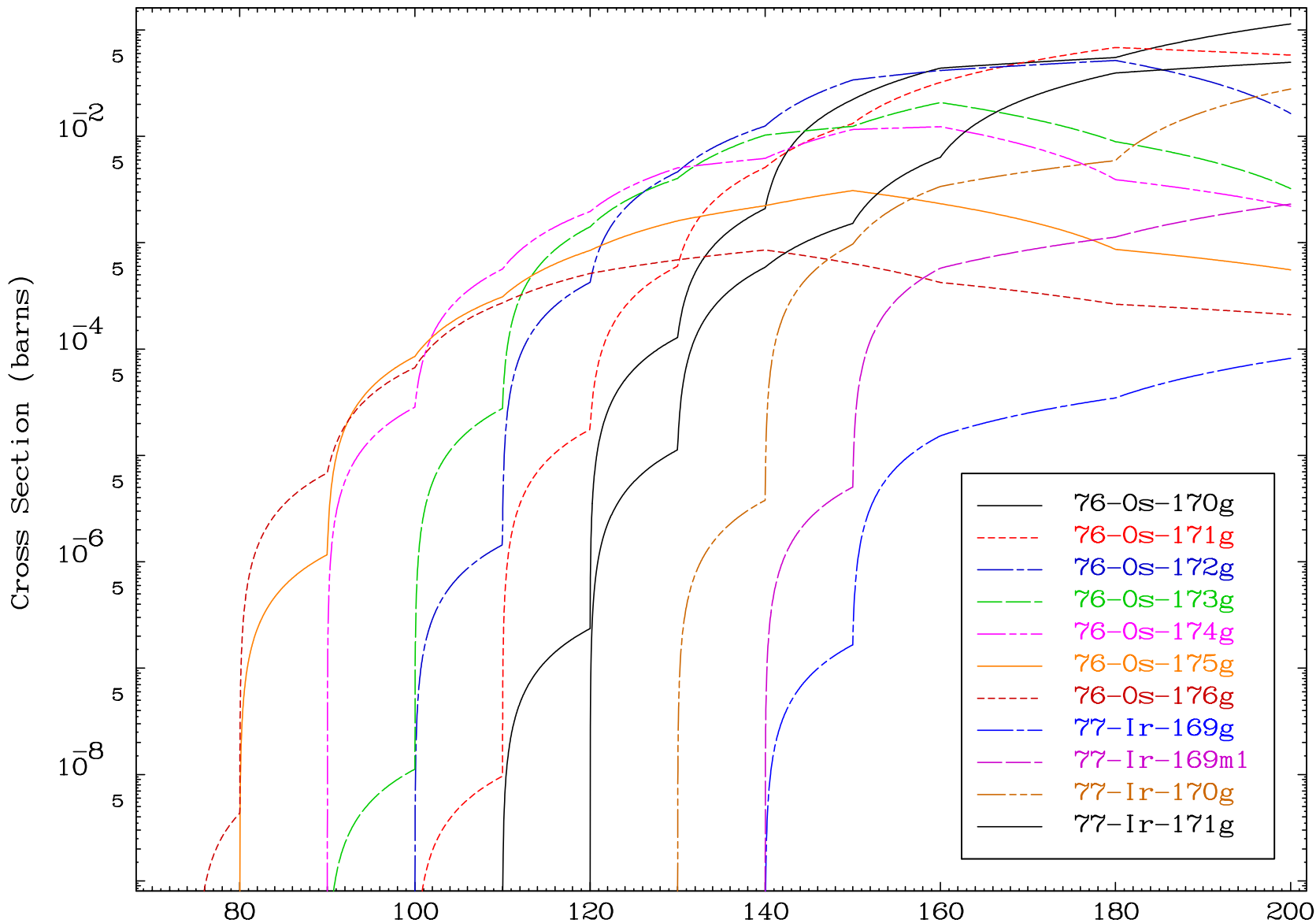
Incident Energy (MeV)

79-Au-189

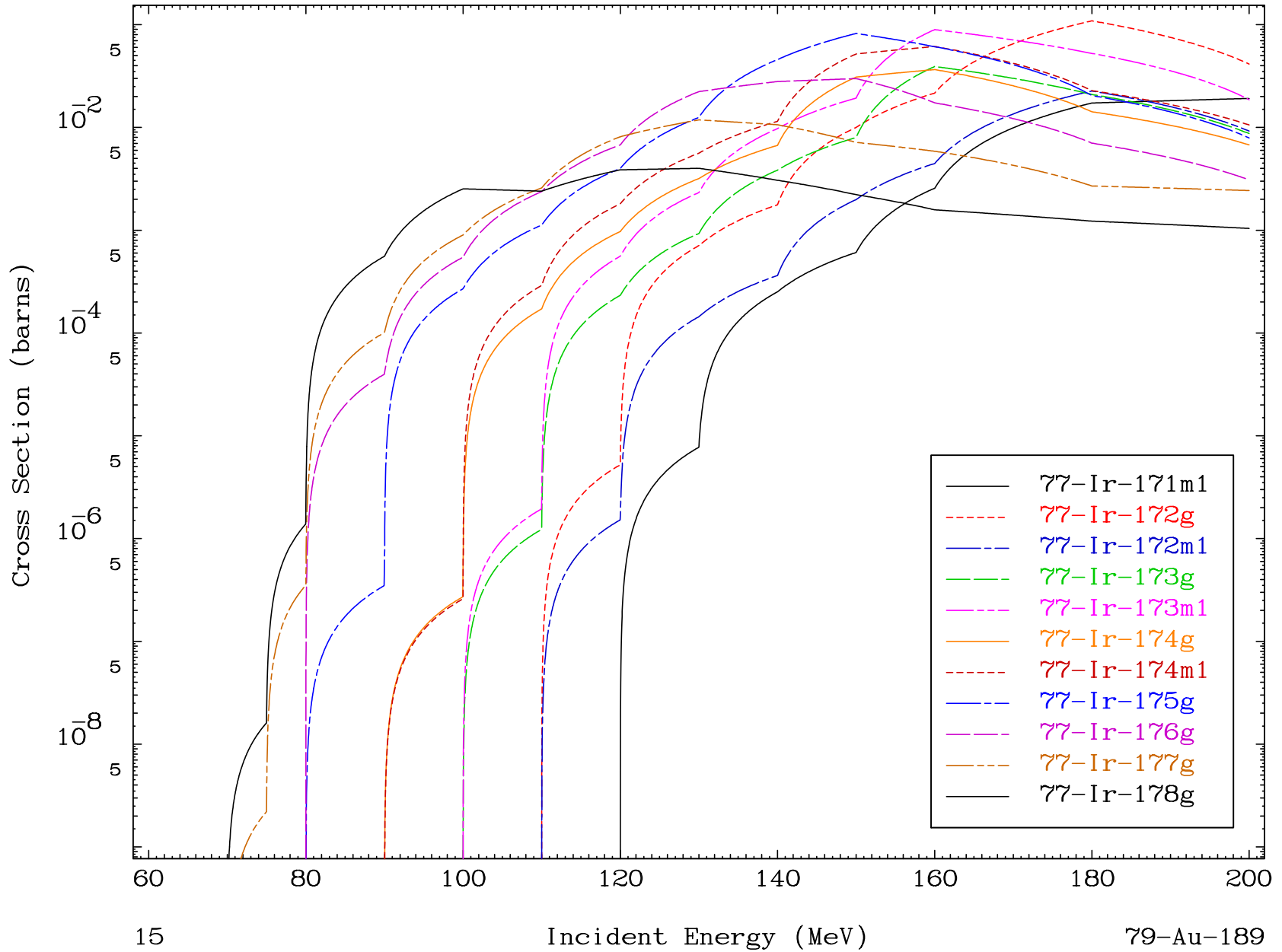
Radionuclide Production Cross Section

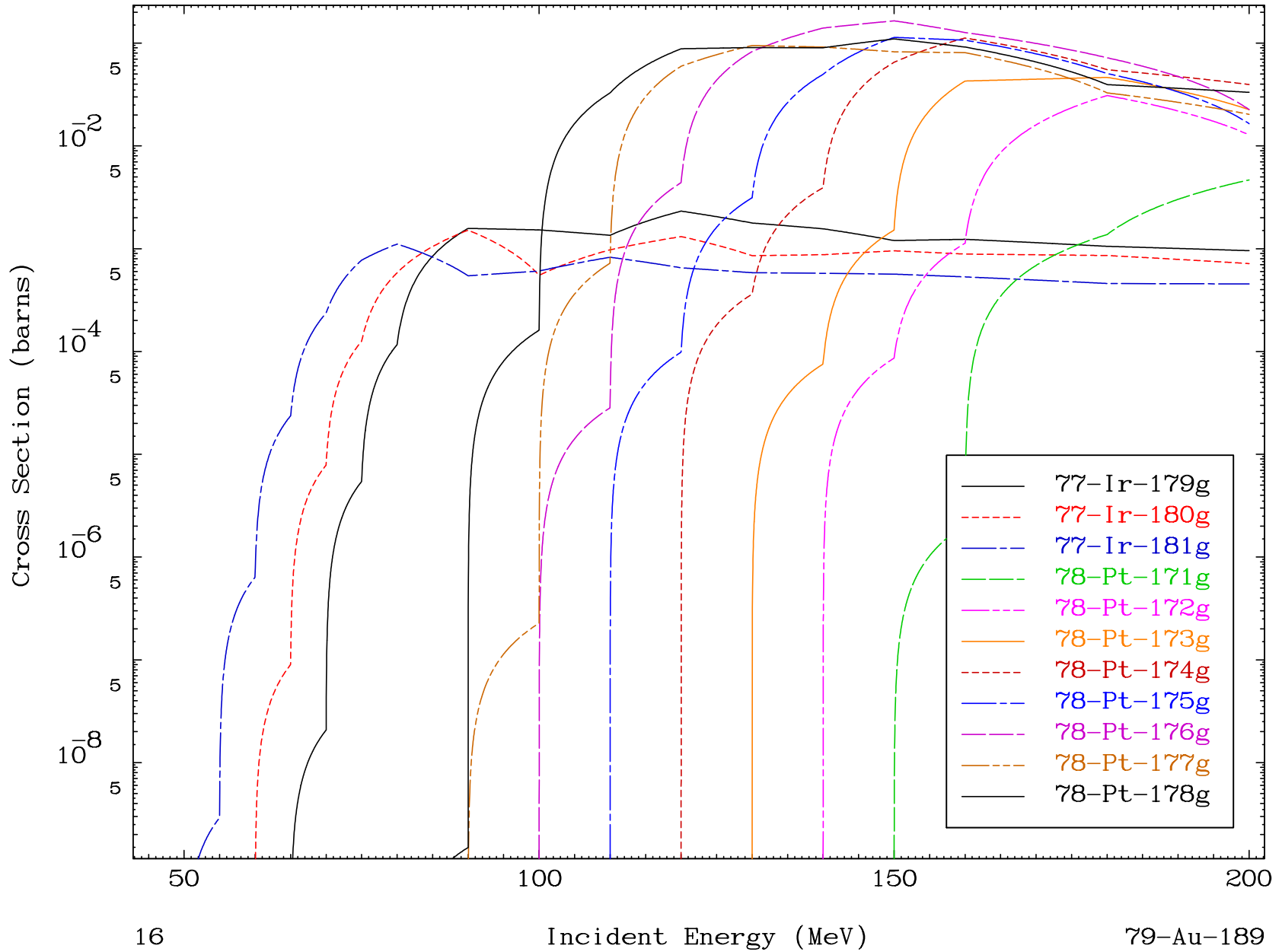




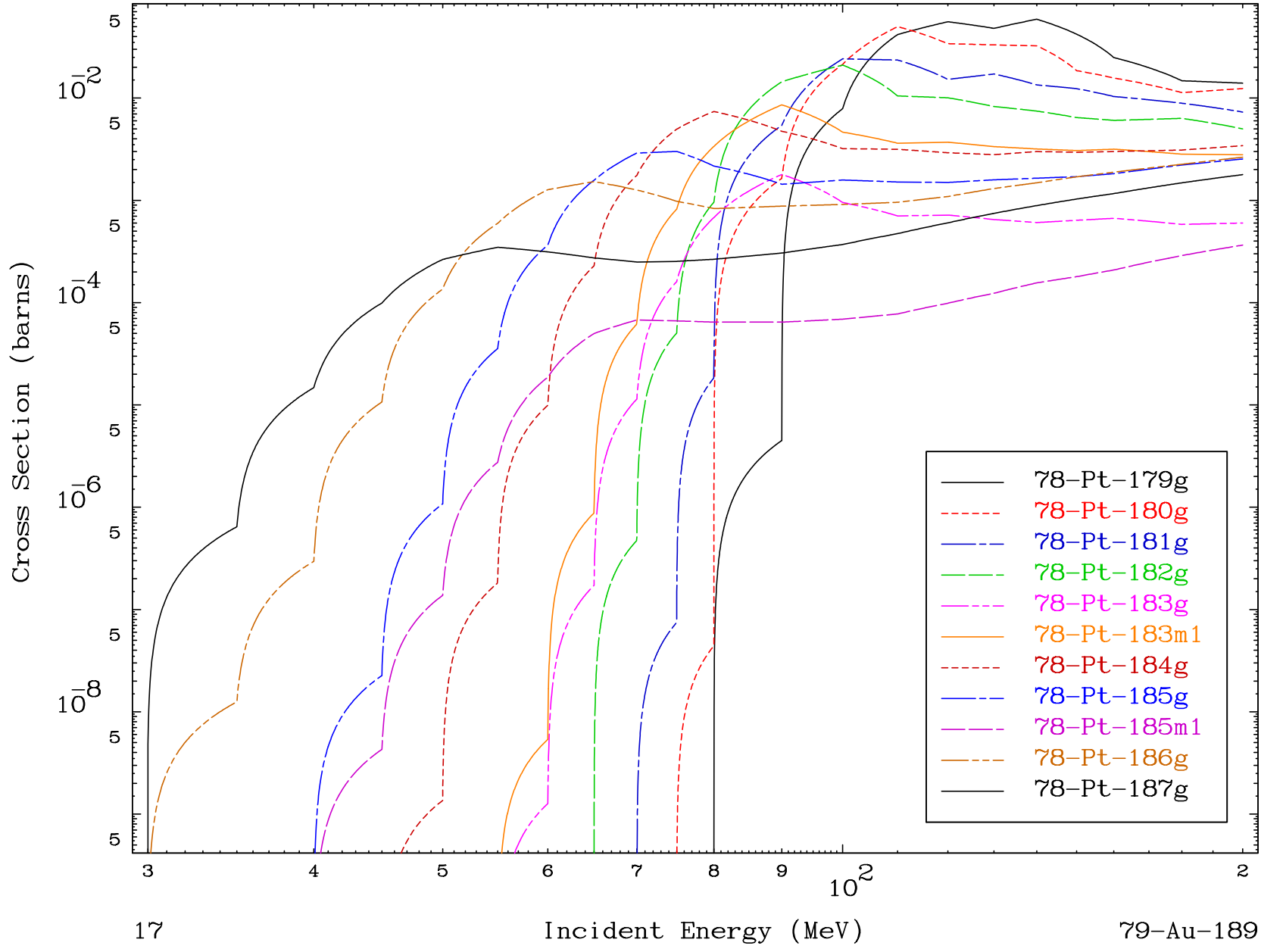


Radionuclide Production Cross Section

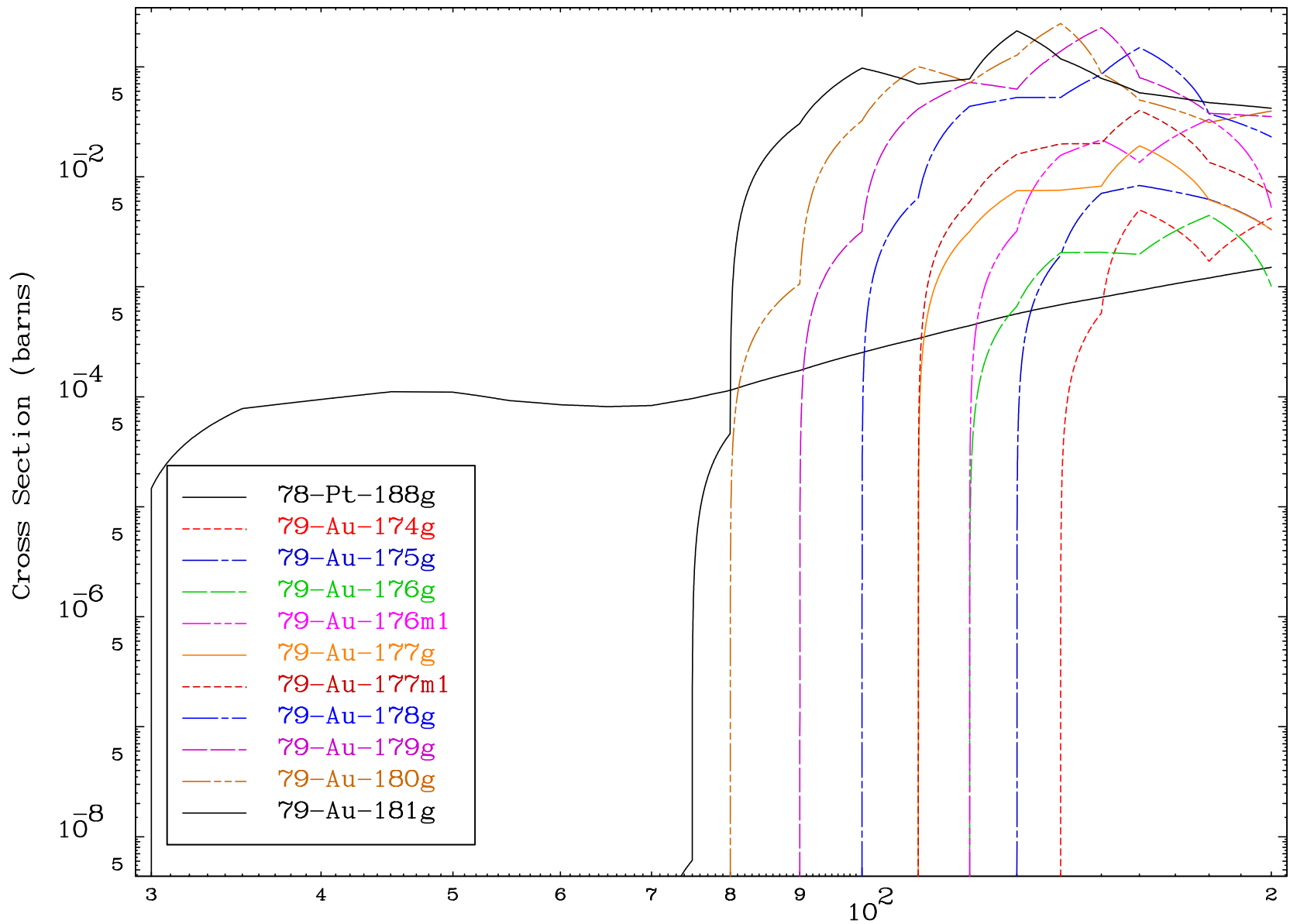




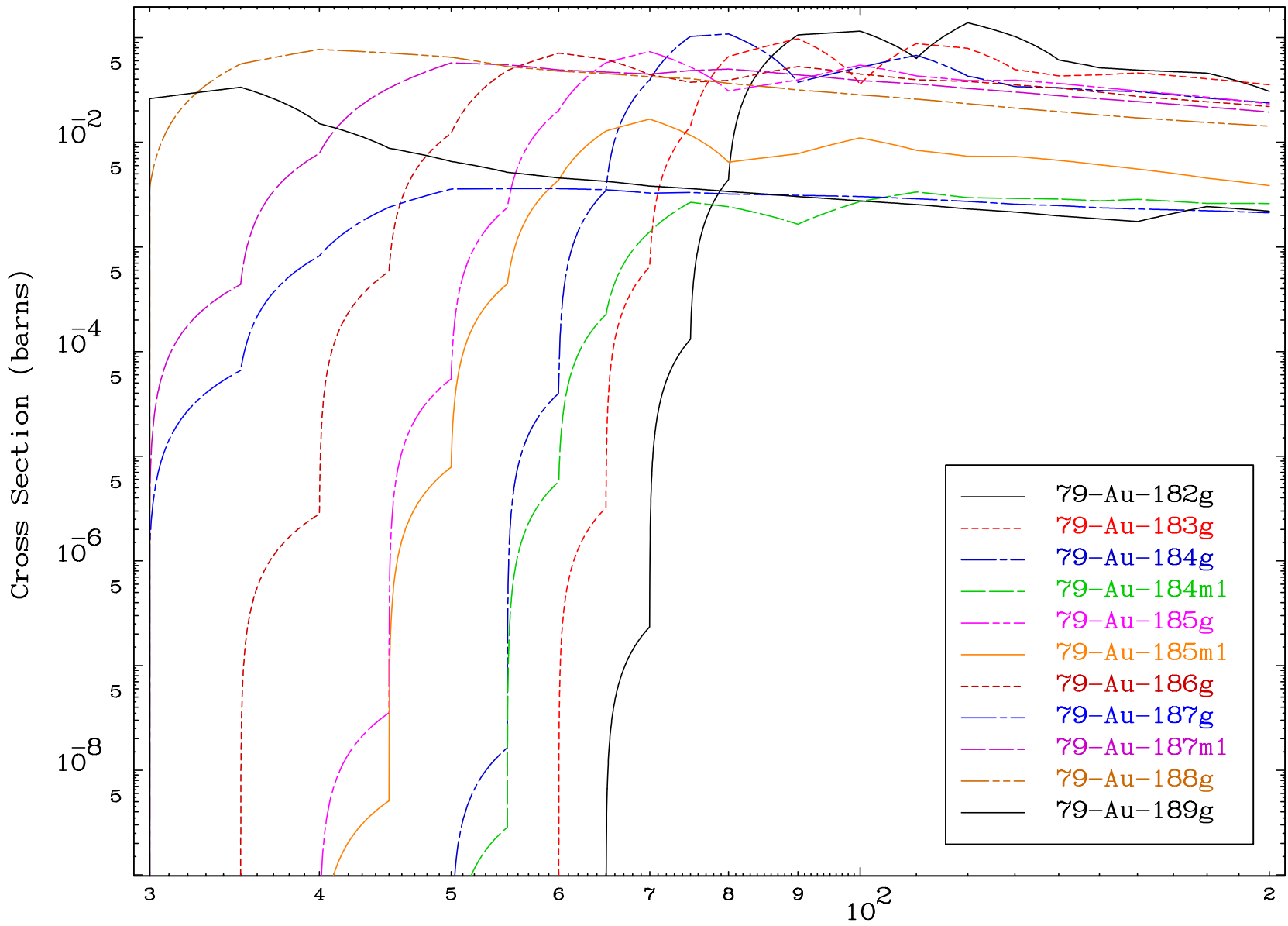
Radionuclide Production Cross Section



Radionuclide Production Cross Section



Radionuclide Production Cross Section

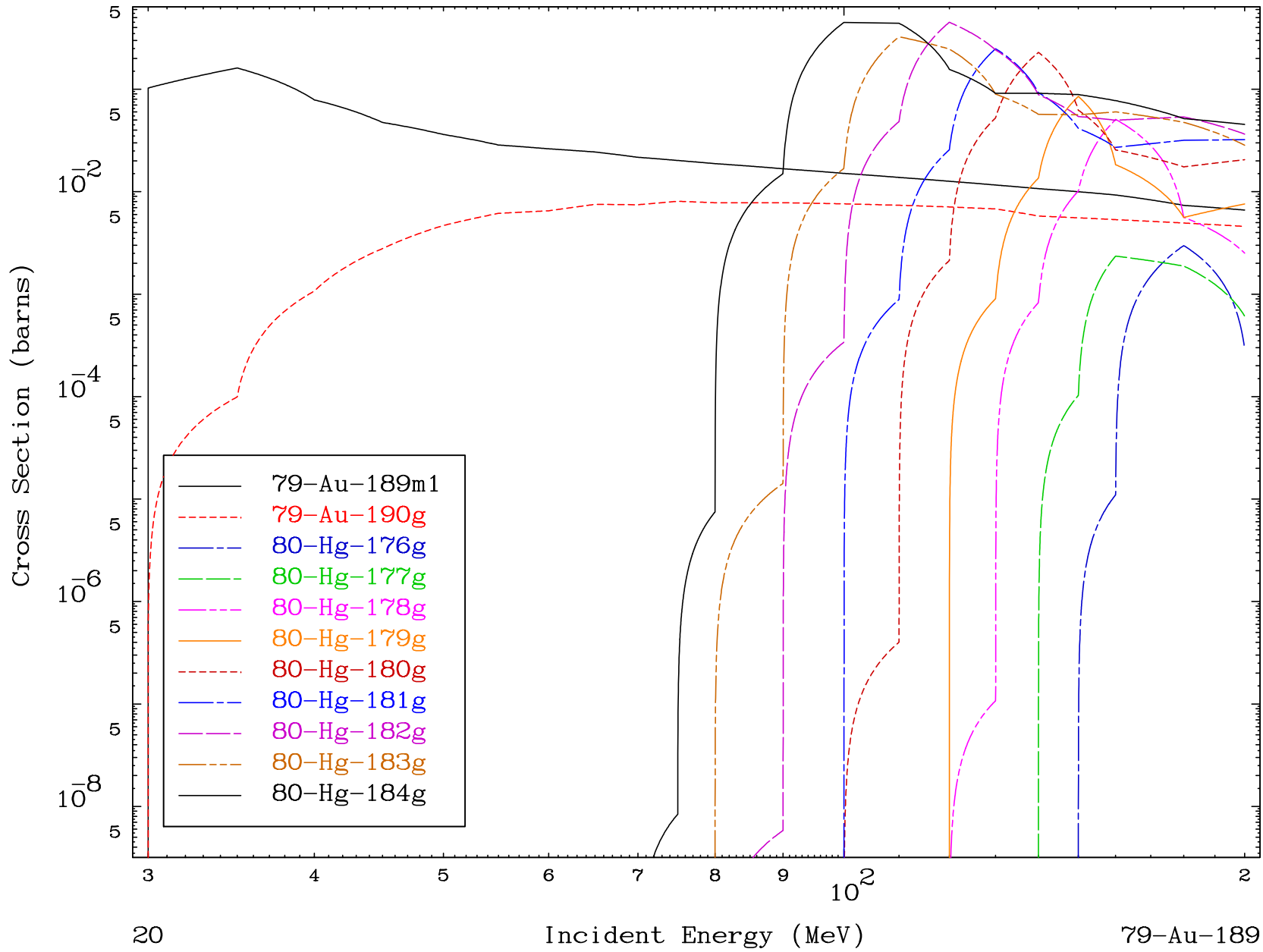


MAT 7902

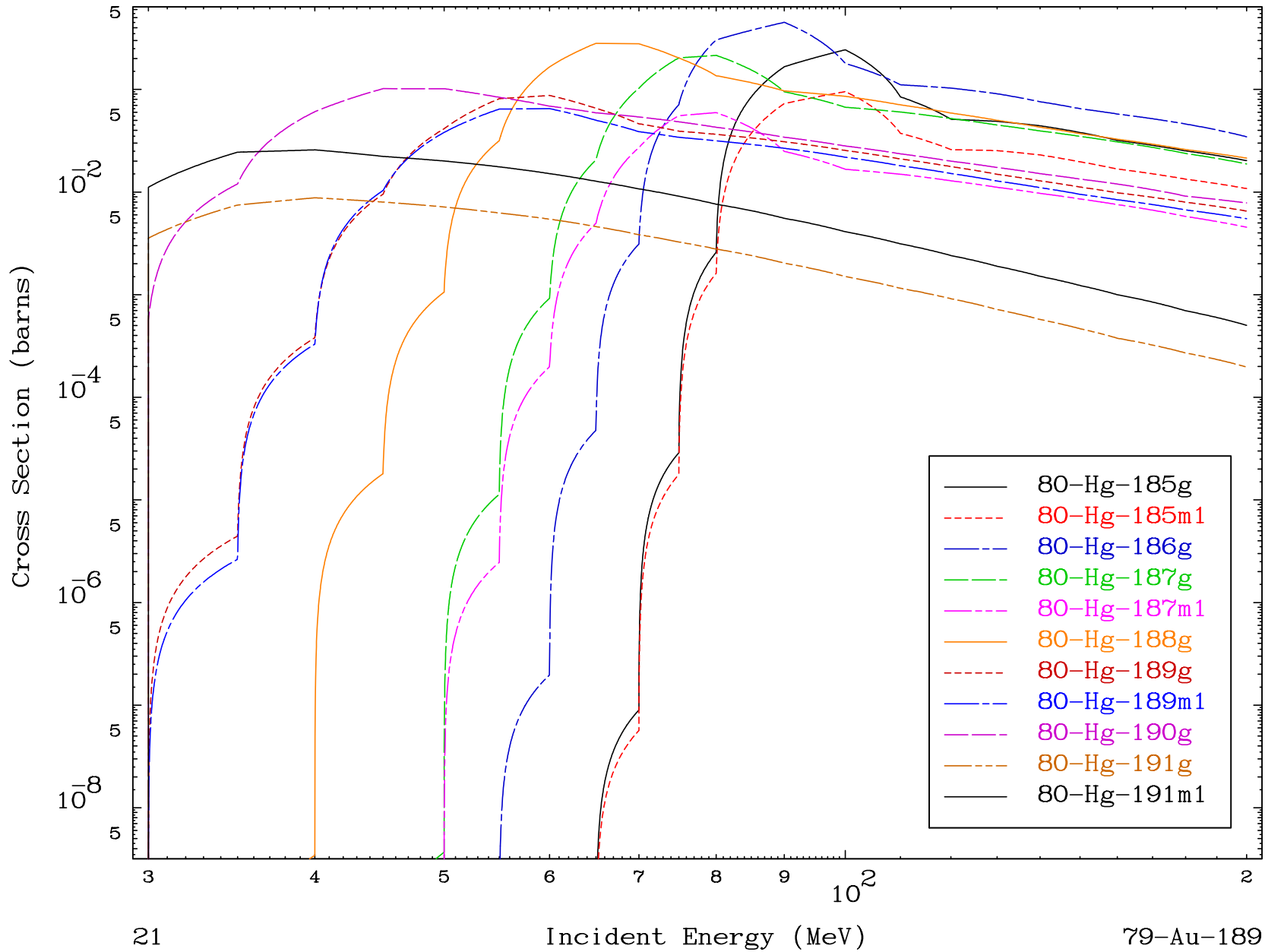
(α , remainder)

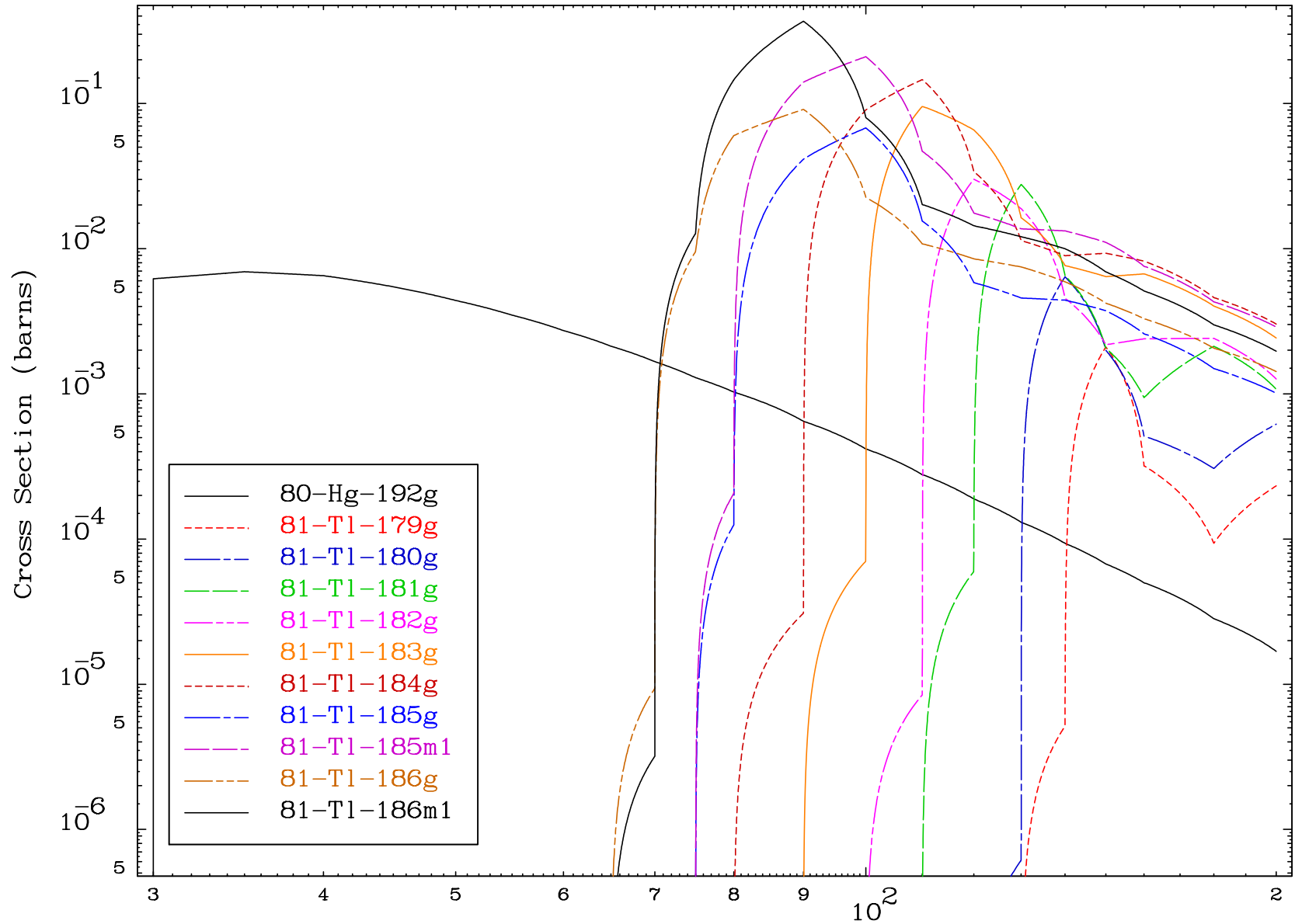
79-Au-189

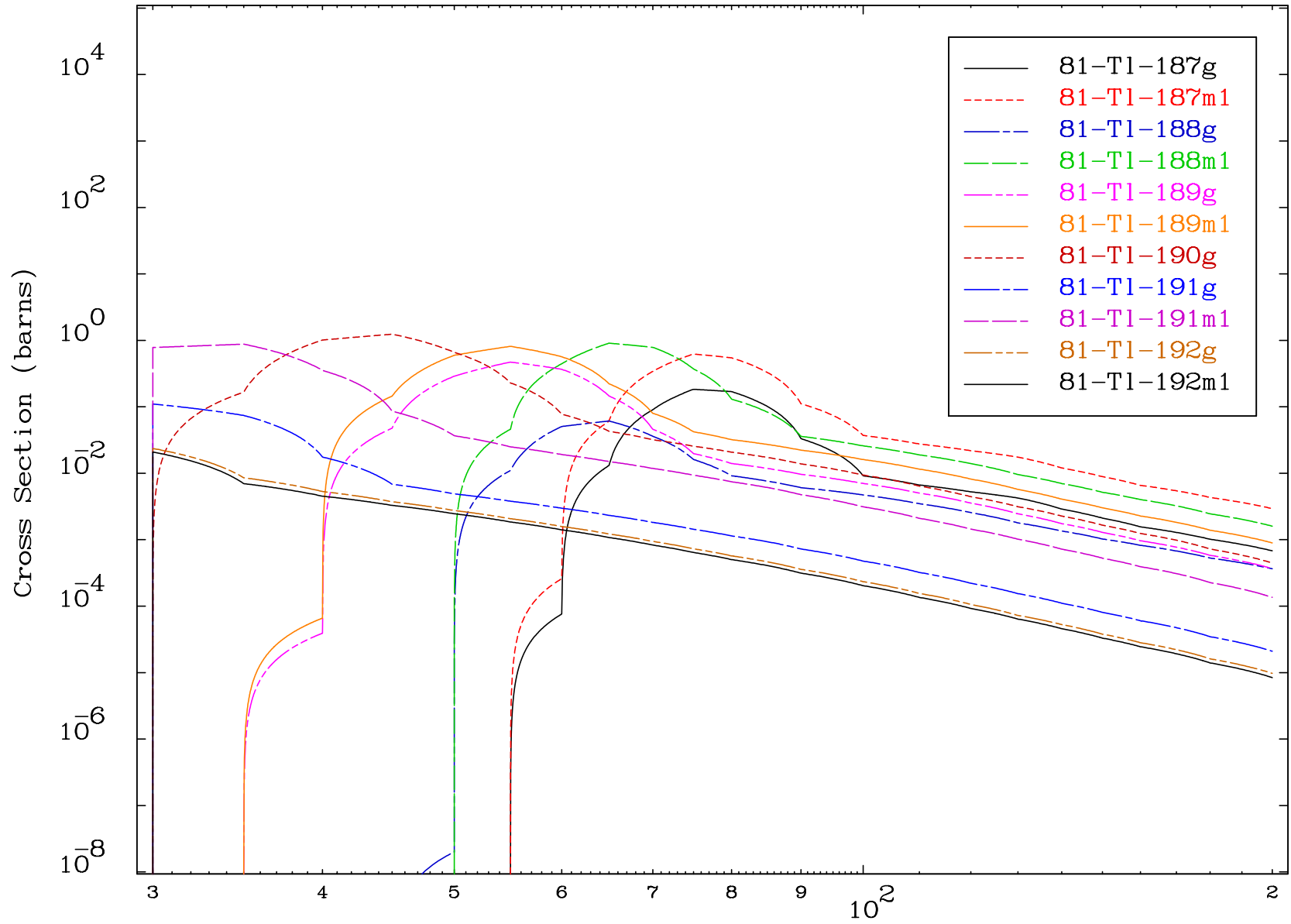
Radionuclide Production Cross Section



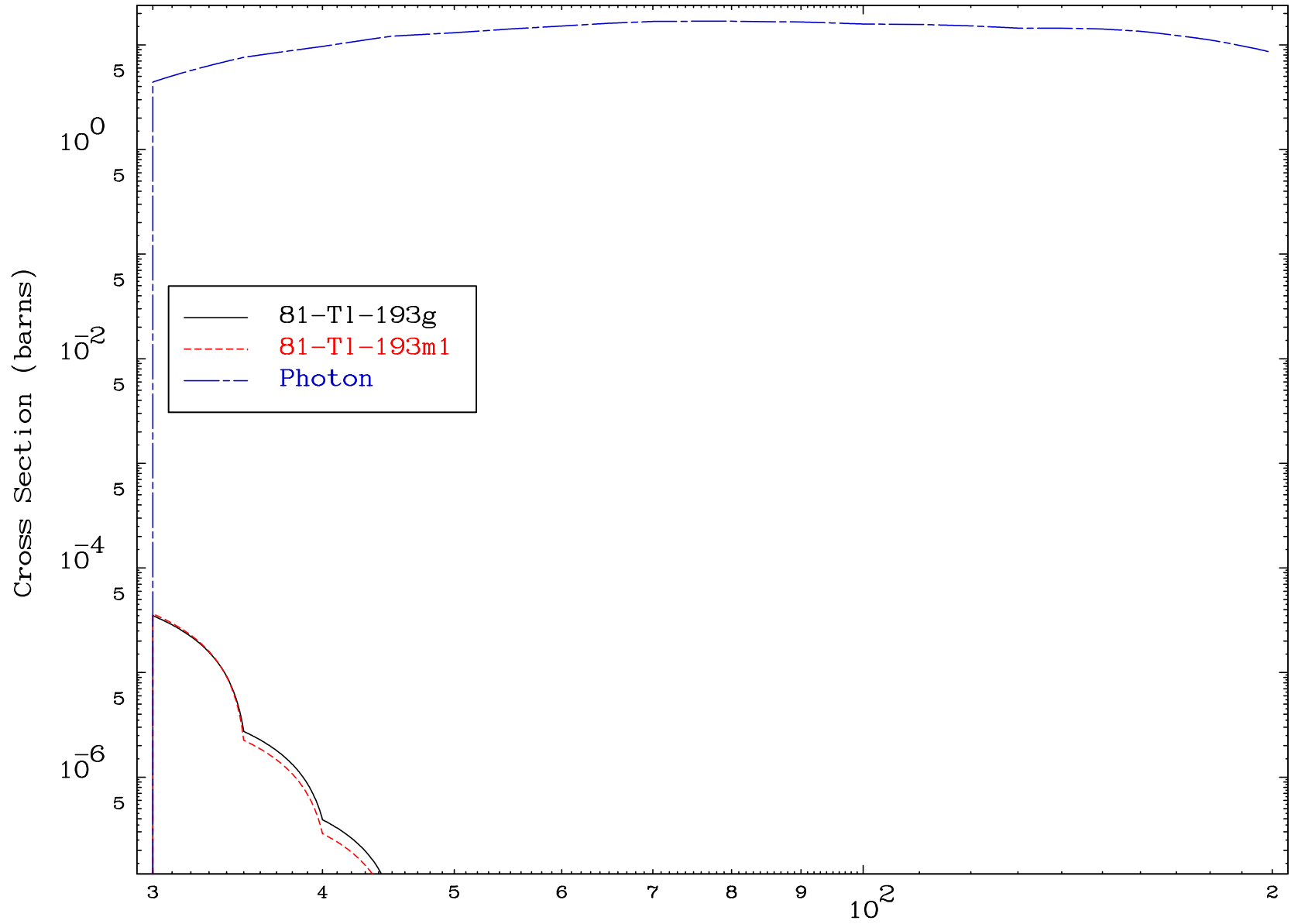
Radionuclide Production Cross Section







Radionuclide Production Cross Section

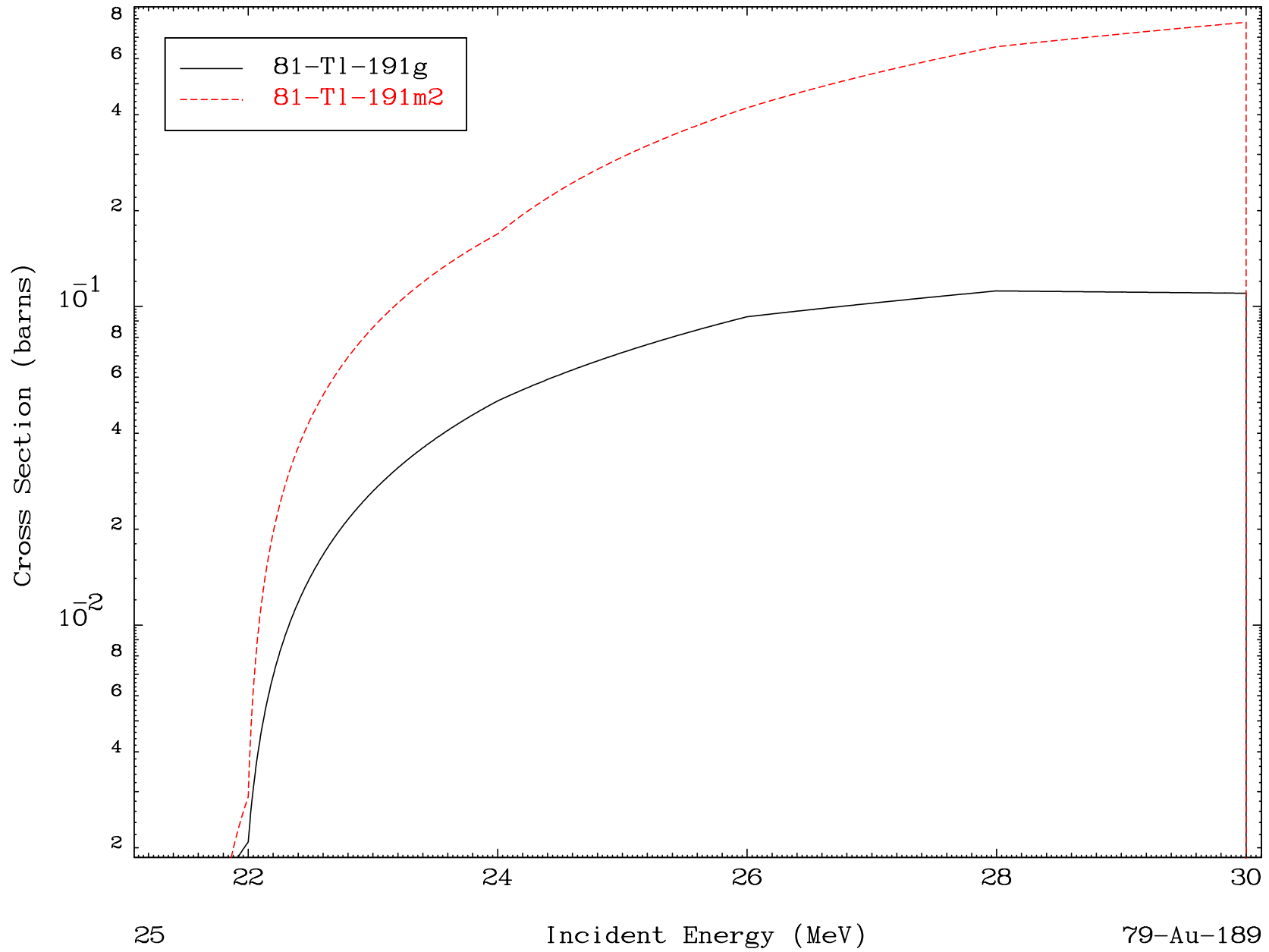


MAT 7902

($\alpha, 2n$)

79-Au-189

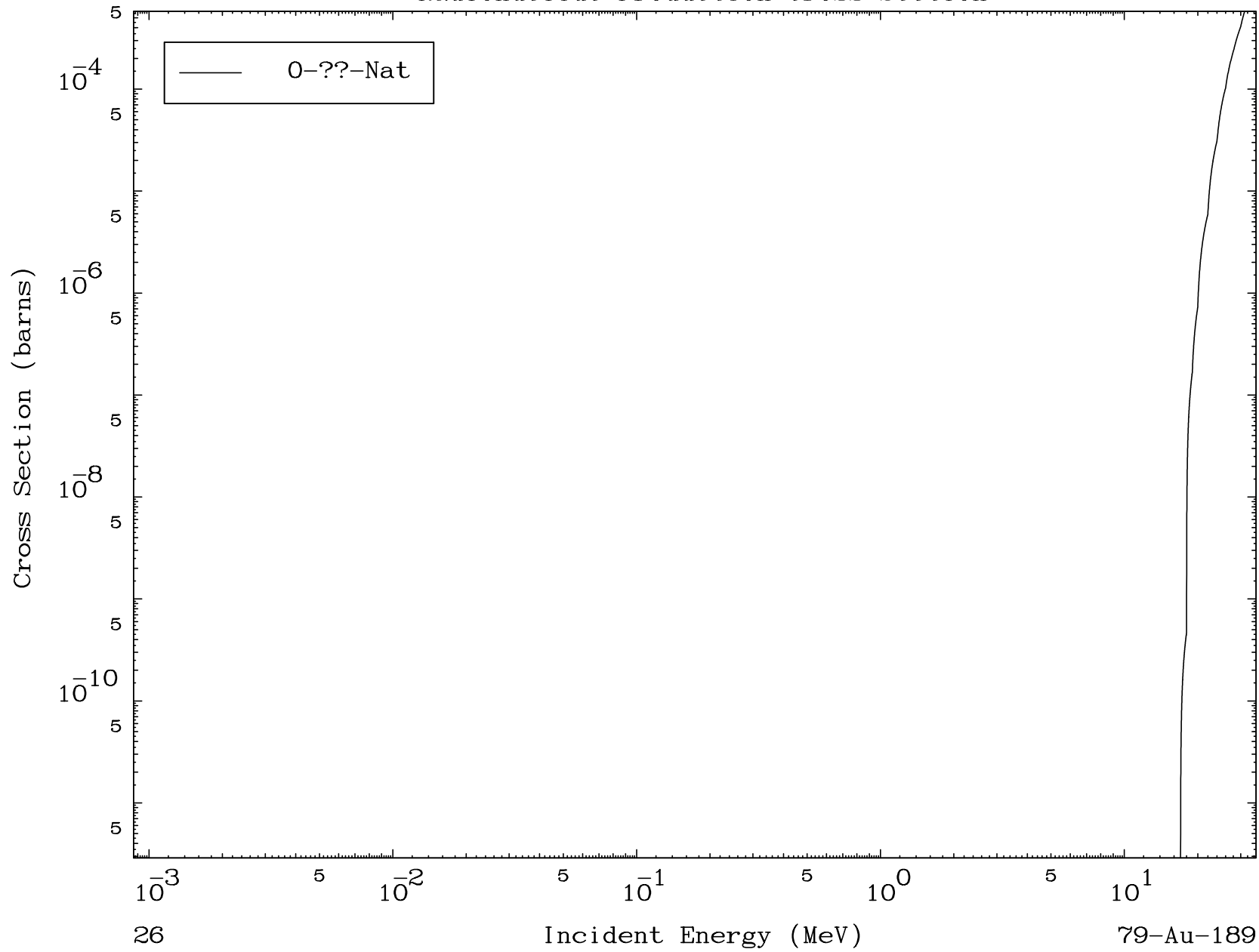
Radionuclide Production Cross Section



MAT 7902

α Fission
Radionuclide Production Cross Section

79-Au-189

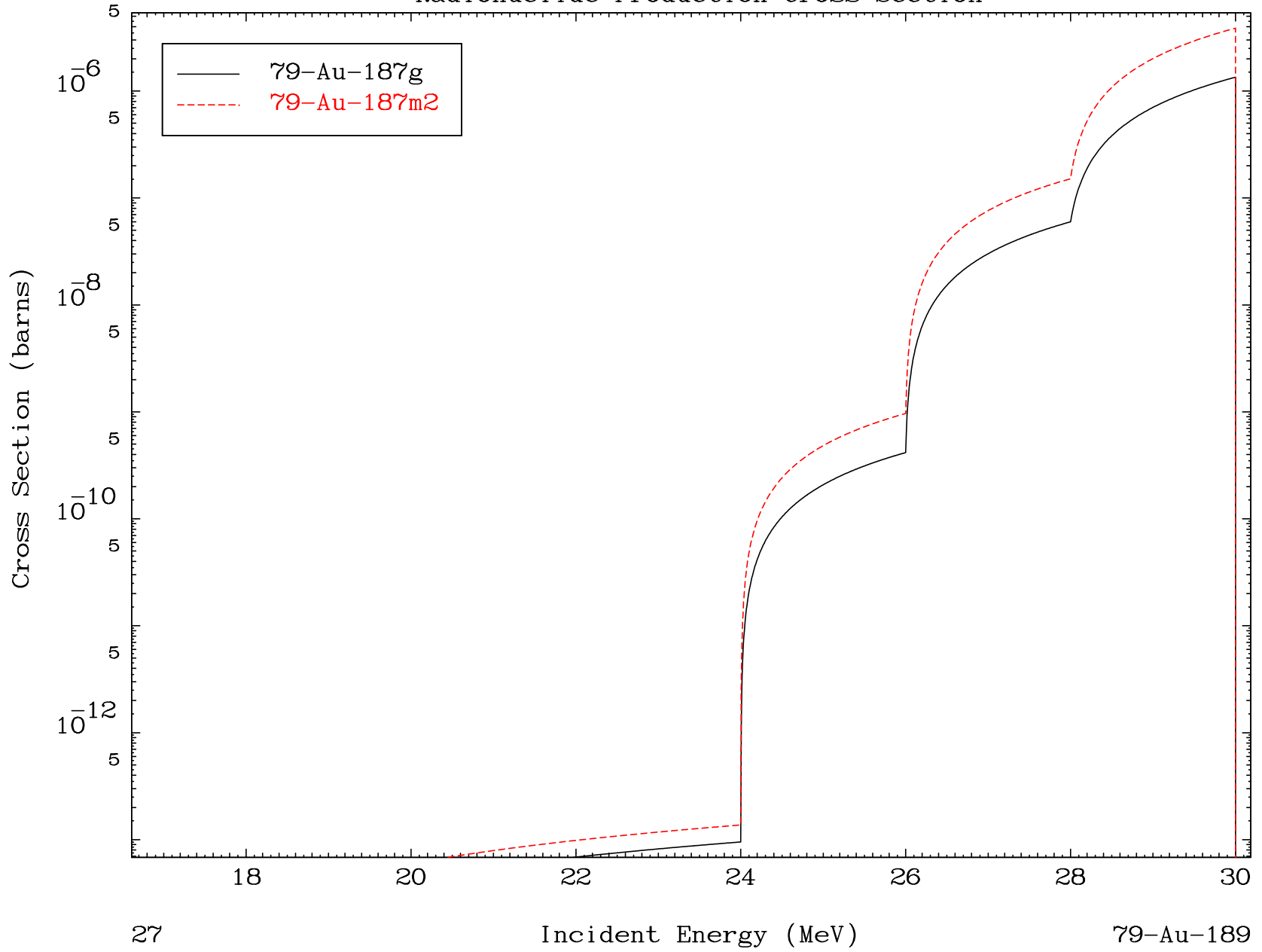


MAT 7902

($\alpha, 2n$) α

79-Au-189

Radionuclide Production Cross Section

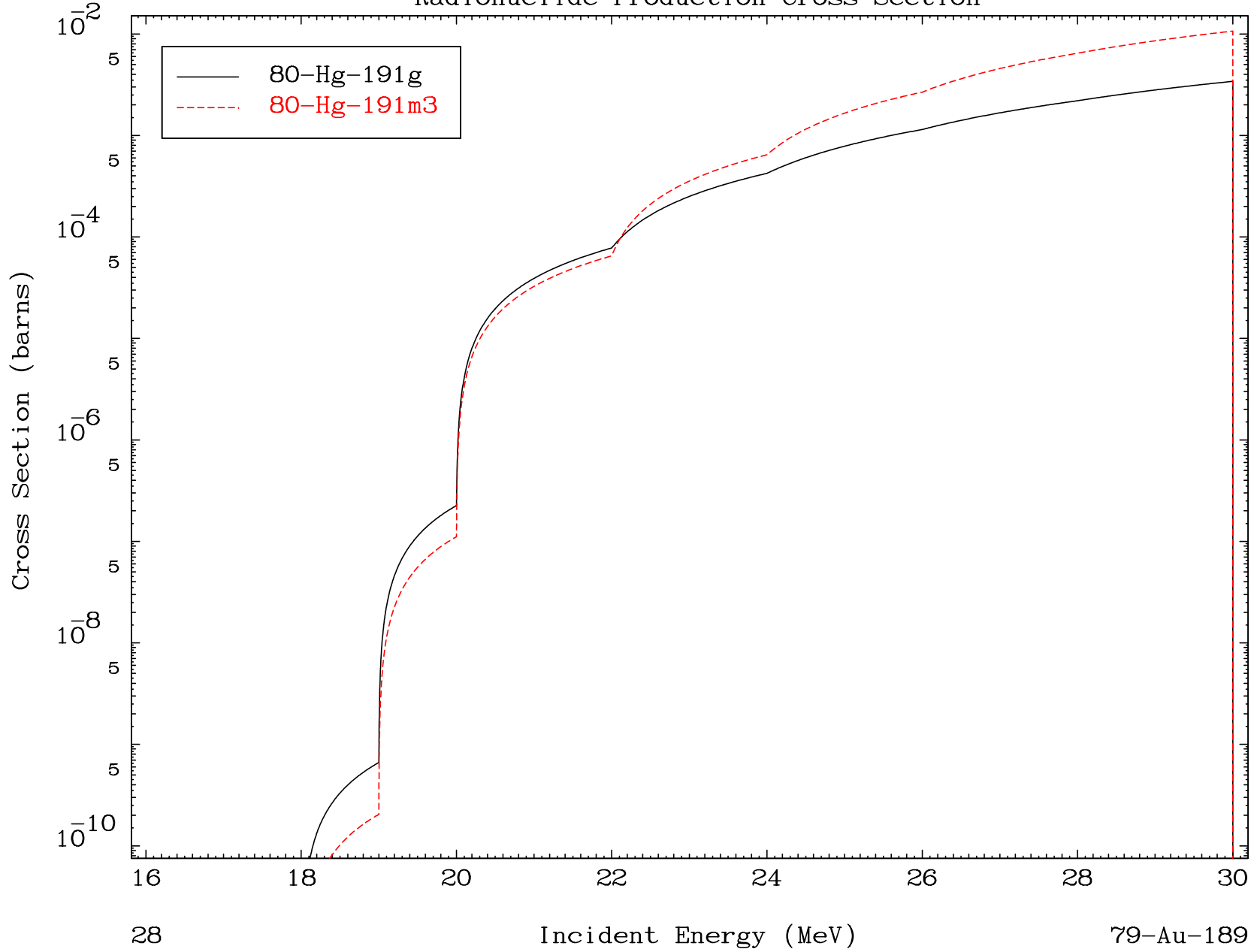


MAT 7902

(α, n') p

79-Au-189

Radionuclide Production Cross Section



28

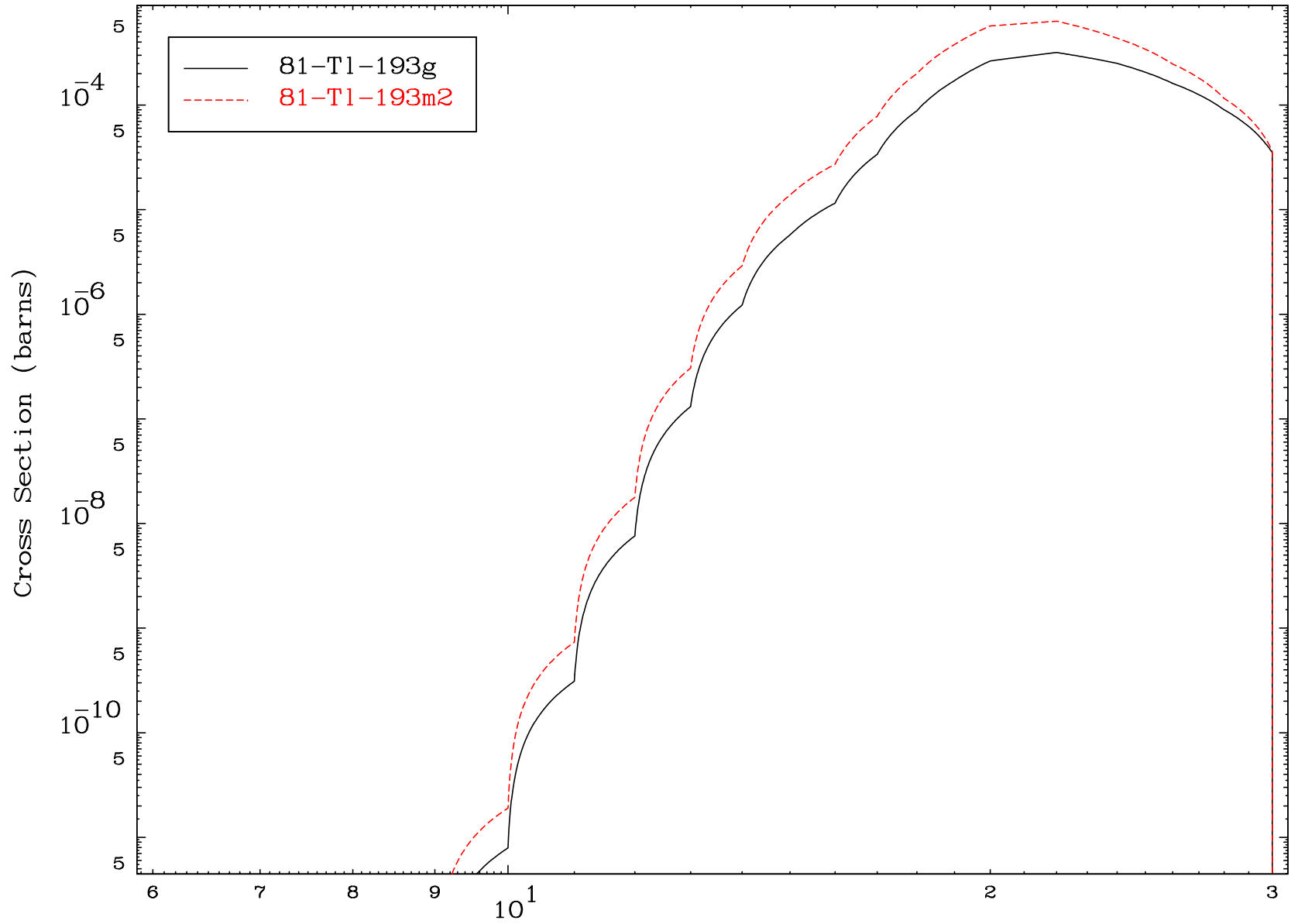
79-Au-189

MAT 7902

(α, γ)

79-Au-189

Radionuclide Production Cross Section



29

Incident Energy (MeV)

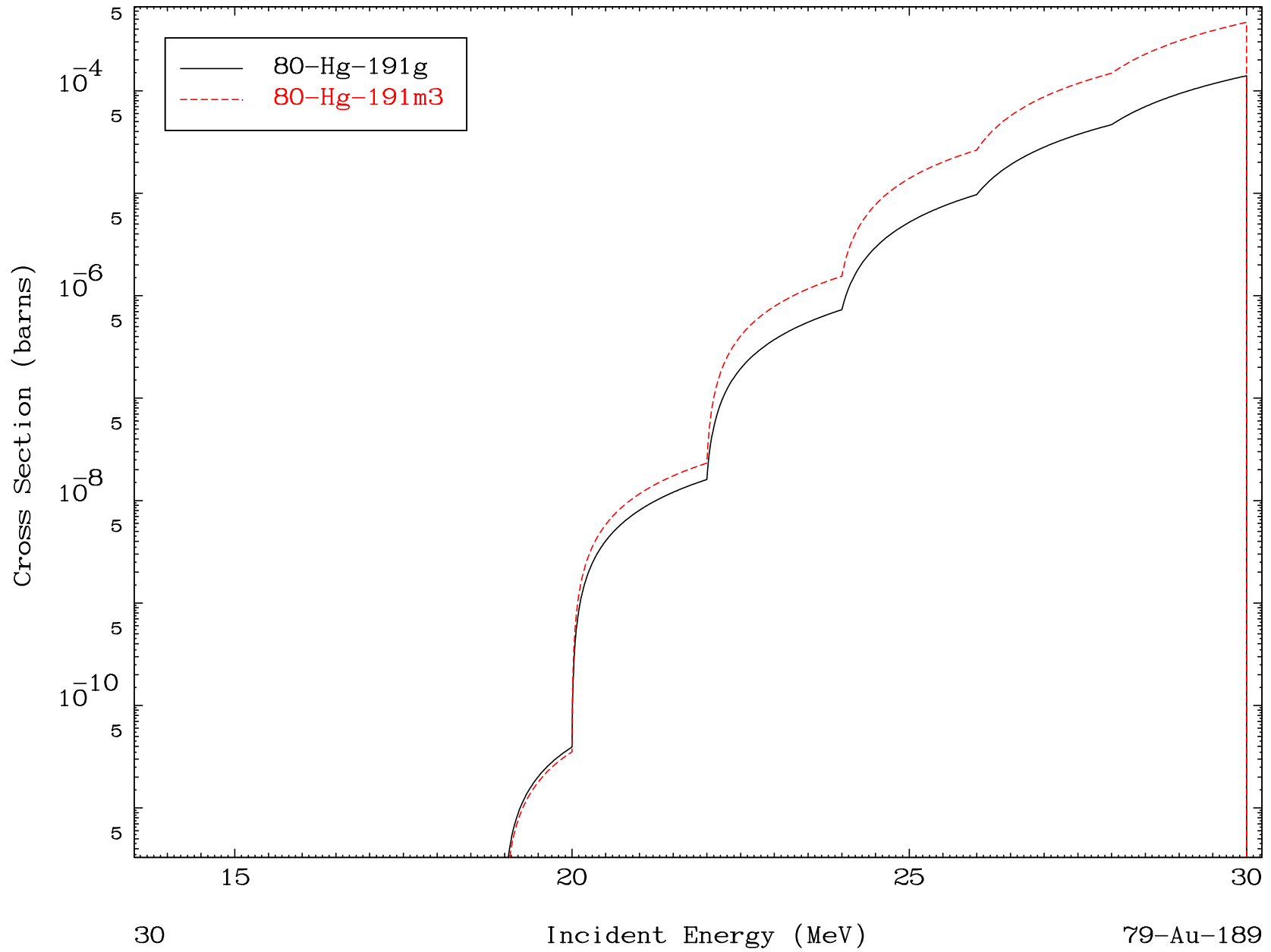
79-Au-189

MAT 7902

(α, d)

79-Au-189

Radionuclide Production Cross Section

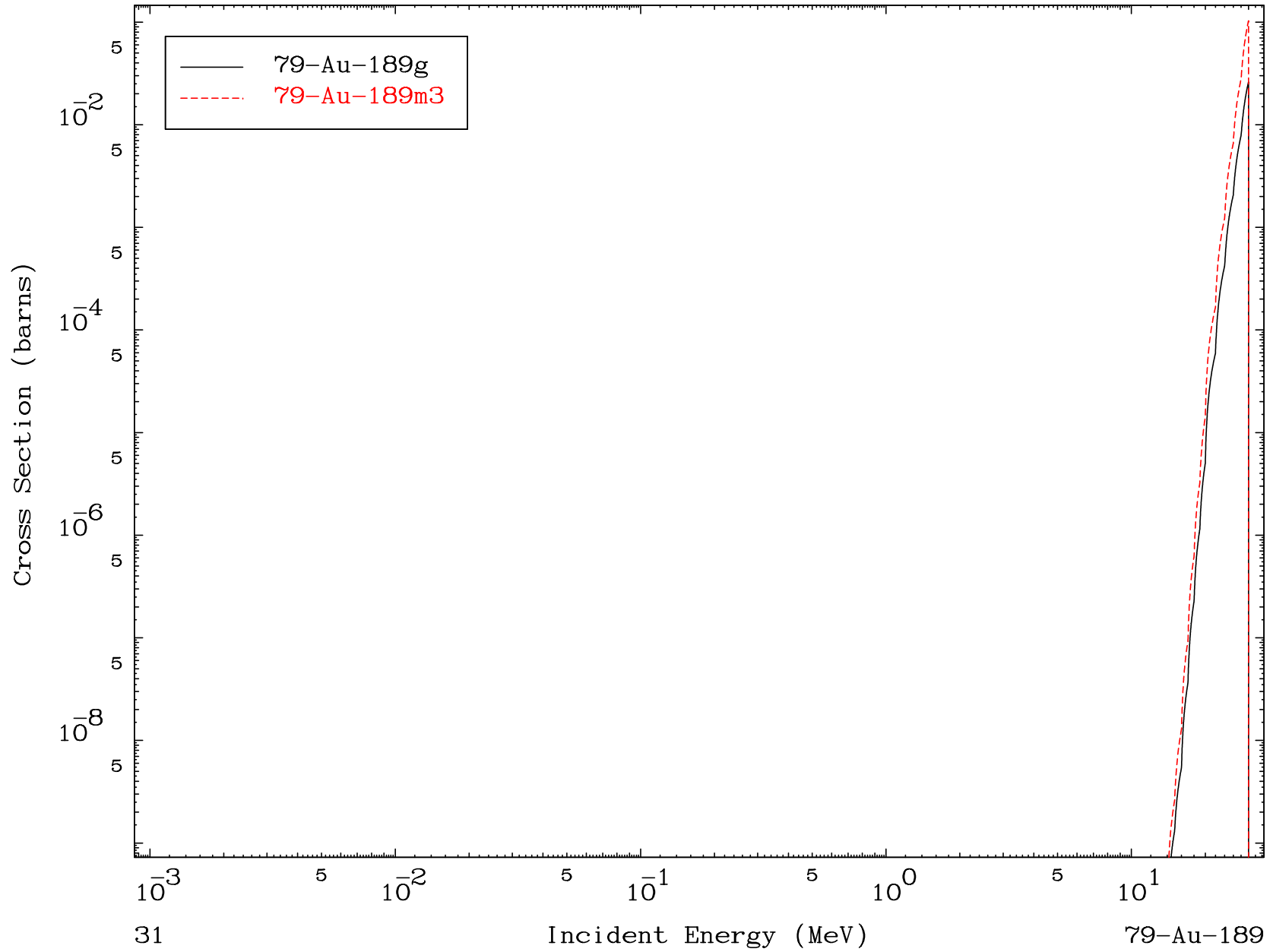


MAT 7902

(α, α)

79-Au-189

Radionuclide Production Cross Section



31

Incident Energy (MeV)

79-Au-189

MAT 7902

($\alpha, 2p$)

79-Au-189

Radionuclide Production Cross Section

